# 4 Architecture des particules

« L'architecture est plus importante que la physique...quantique, ou la physique théorique »
Ricardo Bofill - Architecte (1939 - 2022)
Émission de Michel Ragon
« Le bon plaisir », le 19 janvier 1985

# Remarque liminaire

De même que nous avons pu qualifier la vitesse de phase maximale du front d'onde du boson de X de *variable cachée non locale* au sens de la théorie quantique actuellement en vigueur (mais de *variable cachée semi-locale* en théorie NR), la définition d'une architecture interne des particules équivaut à définir des *variables cachées locales*. Ainsi, la théorie NR pourra être considérée comme une théorie quantique à variables cachées autant locales que semi-locales — c'est-à-dire à la « non-localité limitée » — ce qui nous permettra de revisiter l'ensemble des paradoxes quantiques qui ont émaillé la recherche depuis un siècle, à commencer par le paradoxe EPR énoncé en mai 1935 par le trio de savants Einstein Podolsky Rosen. Par ailleurs, la célèbre expérience des fentes de Young et celles d'Alain Aspect ayant abouti à la vérification de la notion de non-localité quantique à l'aide des inégalités de Bell pourront être reconsidérées dans le cadre du principe de *recohérence quantique*.

Le lecteur — éventuellement architecte de son état — voudra bien ne pas prendre la nouvelle épigraphe posée en tête du présent chapitre comme une vérité définitive... En effet, l'exposé qui va suivre vise à montrer qu'une *approche architecturale* de la physique quantique — dont le caractère flou, probabiliste et mystérieux est connu même des non-initiés — *est importante pour la physique quantique* (surtout aux yeux de ceux qui souhaiteraient en avoir une vision réaliste).

## THÉORIF NR

#### Le boson de X

Le moment est venu d'étudier en détail les caractéristiques du boson de X. Cet objet fondamental de la théorie NR a été présenté comme prenant naissance dans des nappes euclidiennes, d'où sa première qualification de *boson de X euclidien en phase hexagonale*. Mais nous avons noté qu'en raison de l'instabilité de l'espace euclidien à trois dimensions spatiales, le processus topologique d'enveloppement va produire un *changement de phase*, faisant apparaître le *boson de X neutre en phase dodécaédrique*.

## Masses et longueurs d'onde associées au boson de X

Le tableau suivant nous donne selon une première approche deux différentes masses du boson de X, en fonction de la phase de l'espace où il apparaît et donc selon son mode de désintégration.

- ➤ La valeur de **122,952612 GeV/c²** (*ligne 10*) correspond à la masse du boson de X dans les nappes euclidiennes de l'espace, donc avant toute déformation topologique pouvant aboutir à la création de particules de matière.
- La valeur de 125,471093 GeV/c² (ligne 11) correspond à la masse du boson de X dans l'espace neutre dodécaédrique. Cette valeur doit pouvoir être détectée dans un accélérateur de particule suivant le mode de désintégration H° → Z° Z°, avec l'apparition de deux bosons de jauge électrofaible neutres.

Calcul des masses et des longueurs d'onde du boson de X								
n°	Donnée	Symb.	Formule	Valeur	U (SI)			
1	Facteur de conversion Joule → électronvolt	F	1 ev = F J	1,60217663E-19	J			
2	Constante de Planck (unité eV s)	h	expérimentale	4,13566770E-15	eV s			
3	Vitesse de la lumière dans le vide	С	expérimentale	2,99792458E+08	m s <sup>-1</sup>			
4	Perméabilité magnétique du vide	μο	expérimentale	1,25663706E-06	m kg A <sup>-2</sup> s <sup>-2</sup>			
5	Perméabilité gravitationnelle du vide (TNR)	µ∞	μ∞ = F h / c	2,21021909E-42	m kg			
6	Constante de structure fine électromagnétique	α	expérimentale	7,29735257E-03	1			
7	Coefficient des hypervolumes neutres	Chn	Voir calculs avec le tracé régulateur	1,0228750957	1			
8	Coefficient rapport des surfaces neutralisées / neutres	Cso/CsN	Voir calculs avec le tracé régulateur	0,9976617386	1			
9	Longueur d'onde de Planck Einstein fractale euclidienne (Norme euclidienne N de la théorie NR)	λ <sub>BXE</sub> = N	$\lambda_{\text{BXE}} = \sqrt[4]{2 \pi \frac{\mu_{x} \alpha}{c} \frac{\mu \circ \alpha}{c}}$	1,00839011E-17	m			
10	Masse du boson de X euclidien (phase hexagonale)	Мвхе	$M_{BXE} = \frac{hc}{\lambda_{BXE}}$	1,22952612E+11	eV/c²			
11	Masse du boson de X neutre (phase dodécaédrique)	Мвхм	$M_{\mathtt{BXN}} = M_{\mathtt{BXE}}  C_{\mathtt{HN}}  \frac{C_{\mathtt{S} \ \mathtt{O}}}{C_{\mathtt{S} \ \mathtt{N}}}$	1,25471093E+11	eV/c²			
12	Longueur d'onde de Planck Einstein fractale neutre	λвхи	$\lambda_{\text{BXN}} = \frac{hc}{M_{\text{BXN}}}$	9,88149502E-18	m			
13	Masse du boson de Higgs (CMS 2020 : 125,38 ± 0,14 GeV/c²)	Мвн	expérimentale	1,25380000E+11	eV/c²			
14	Différence MBH - MBXN (valeur absolue)	Δ	$\Delta =  M_{BH} - M_{BXN} $	9,10933397E+07	eV/c²			
15	Pourcentage différence	% Δ	% $\Delta = \frac{\Delta}{M_{BH}}$	0,0726538042	%			

Principes du calcul (voir détails en annexe 1 page 351):

Lignes 1 à 6 : Données expérimentales Lignes 7 et 8 : Résultats de la théorie NR

**Lignes 9 et 10 :** Longueur d'onde et masse du boson de X en phase hexagonale, relation de Planck Einstein :  $\mathbf{E} = \mathbf{hc} / \lambda$  (4.1)

**Lignes 11 et 12 :** Masse et longueur d'onde du boson de X en phase dodécaédrique, relation de Planck Einstein inverse :  $\lambda = hc / E$  (4.2)

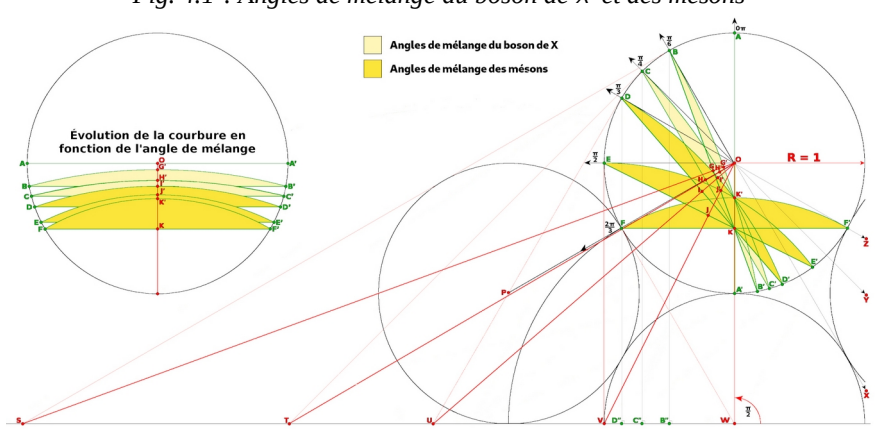
**Lignes 13 à 15 :** Comparaison du résultat du calcul de la masse du boson de X en phase neutre dodécaédrique avec la plus récente mesure de la masse du boson de Higgs réalisée au CERN par la collaboration CMS (2020)

**Résultat 1 :** La masse du boson de X ainsi calculée en phase neutre ne diffère que de **0,72** ‰ de la plus récente masse établie au CERN par la collaboration CMS.

Cette précision ne doit cependant pas être surestimée, les résultats expérimentaux étant susceptibles d'évoluer, en particulier lors du redémarrage du collisionneur du CERN, le LHC à haute luminosité devant entrer en service fin 2027. Les résultats publiés sont eux-mêmes des moyennes gaussiennes et nous sommes donc en pratique face à un continuum de valeurs, ce qui nous amène à introduire la notion d'*angle de mélange*<sup>1</sup>.

## Angles de mélange du boson de X

L'épure suivante illustre cette notion d'angle de mélange :



*Fig.* 4.1 : *Angles de mélange du boson de X et des mésons* 

<sup>1</sup> A l'attention des spécialistes : il s'agit ici d'une extension de la notion d'angle de Weinberg, ou angle de mélange électrofaible.

Le cercle en haut à gauche montre la contraction linéaire du disque équatorial **AA'** d'une 3-sphère du tracé régulateur sous la forme de calotte sphérique, résultat précédemment décrit de l'opération topologique d'enveloppement aboutissant à création des particules de matière.

Le cercle en haut à droite illustre la même évolution des calottes sphériques sous la forme d'une variation angulaire. Cette variation, allant de **0°** à **120°**, est précisément la source de cette idée d'angle de mélange, qui en théorie NR devient un concept parfaitement réaliste.

Ces deux cercles décrivent en réalité deux situations différentes : à gauche, le processus de création d'une particule par enveloppement topologique ; à droite le processus de désintégration d'une particule selon l'angle d'attaque du choc intervenant lors d'une collision. Plus la direction du choc s'écartera de la direction radiale  $(0\pi)$  et plus la désintégration de la 3-sphère représentative du boson de X se verra combinée avec celle d'autres éléments de la structure interne de la particule, en particulier les quarks, comme on le verra dans la suite de l'étude.

Ainsi, l'épure des angles de mélange a-t-elle été divisée conventionnellement en deux secteurs, l'un allant de **0**° à **45**° où la désintégration a le plus de chance de produire un « boson de X pur », et l'autre allant de **45**° à **120**° où la collision sera susceptible de produire des particules instables composites, formées de quarks et d'antiquarks, baptisées **mésons** dans le vocabulaire des spécialistes de la physique des particules.

Le croquis suivant est basé sur l'architecture des particules qualifiée de « mousse de savon ».

Les trois niveaux du tracé régulateur d'une particule sont ici représentés, mais les cercles ont été remplacés par des polygones tracés en noir, avec cette particularité que l'enveloppe extérieure reste un assemblage de segments circulaires Cette disposition est tout à fait conforme au comportement macroscopique d'une mousse de savon, dans l'espace de dimension 3, les bulles intérieures présentant des faces planes polygonales, alors que celles en contact direct avec l'espace environnant disposent d'une face extérieure en forme de calotte sphérique inscrite dans un polygone.

Conformément au principe de l'opération topologique d'enveloppement décrivant l'apparition de la matière au cœur des quasars, c'est la nappe centrale du tracé régulateur qui correspond à la norme **N**, et c'est donc à ce niveau qu'il nous faut rechercher les différents modes de désintégration du boson de X.

Quatre occurrences ont été représentées schématiquement cidessous sur le tracé régulateur, sous forme de doubles flèches de couleurs bleue rouge et verte. Les trois flèches jaunes issues du centre du tracé représentent les bosons susceptibles d'accompagner la désintégration d'un boson de X, sous forme de photons gamma ou de bosons de jauge électrofaibles W<sup>±</sup> ou Z°. Dans un souci de lisibilité, elles ont été représentées sur des axes séparés, mais il faut les imaginer superposées à une double flèche bleue (W<sup>±</sup>) ou rouge (Z°).

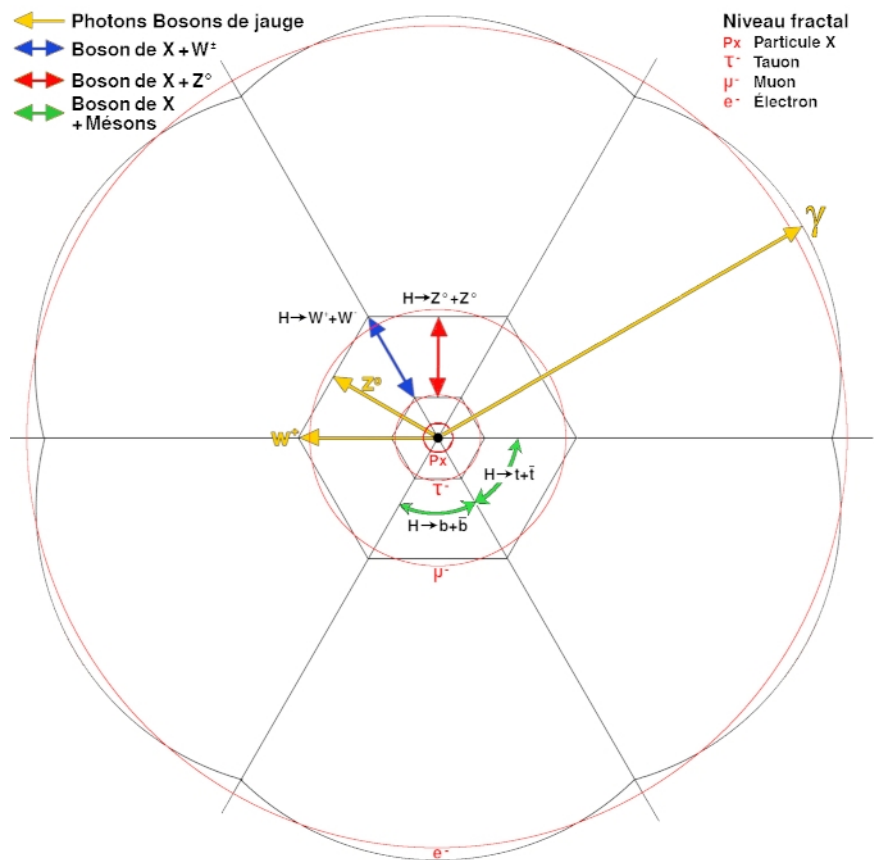


Fig. 4.2 : Modes de désintégration du boson de X

Ces deux modes de désintégration du boson de X accompagnés de bosons intermédiaires Z° ou W±, avec des angles de mélange respectifs de **0**° et **30**°, se situent donc à l'intérieur du secteur angulaire ci-avant défini de ±**45**° correspondant aux bosons de X qualifiés de « purs ». Dans le langage architectural imagé de la théorie NR, ceci signifie que nous avons affaire à des « ressorts », positionnés radialement à partir du centre d'une particule et pouvant être associés à la notion de *pression interne*.

Mais revenons aux calculs des masses selon différents angles de mélange choisis dans la première épure (*voir Fig. 4.1 page 67*). Le tableau suivant donne la masse du boson de X pour l'angle de mélange **30°**, calculée à partir de celle du boson de X euclidien :

Masses du boson de X – Angle de mélange radial 30°								
n°	Donnée	Symb.	Formule	Valeur	U (SI)			
1	Coefficient surfaces neutralisées / neutres	Cso/CsN	Voir calculs avec le tracé régulateur	0,9976617386	1			
2	Aire du disque euclidien DE (OA = 1)	SDE	$S_{DE} = \pi (OA)^2$	3,1415926536	1			
3	Masse du boson de X euclidien (phase hexagonale)	Мвхе	Voir calculs des masses et des longueurs d'onde du boson de X	1,22952612E+11	eV/c²			
4	Dénominateur de l'angle de mélange radial	d	d = N	6,0000000000	1			
5	Angle de mélange radial en radians	α	$\alpha = \frac{\pi}{d}$	0,5235987756	radian			
6	Angle de mélange radial en degrés	α°	$\alpha$ ° = 180 $\frac{\alpha}{\pi}$	30,0000000000	degré			
7	Longueur de la tangente	BS	$BS = \frac{\cos\frac{\pi}{6} + 2}{\sin\frac{\pi}{6}}$	5,7320508076	1			
8	Longueur de l'axe de la calotte sphérique	os	$OS = \sqrt{1 + (BS)^2}$	5,8186258224	1			
9	Surface du triangle rectangle BOS	S <sub>BOS</sub>	$S_{BOS} = \frac{BS}{2}$	2,8660254038	1			
LO	Hauteur du triangle BOS perpendiculaire au coté OS	BG	$BG = 2 \frac{S_{805}}{OS}$	0,9851210548	1			
1	Longueur GS	GS	$GS = \sqrt{(BS)^2 - (BG)^2}$	5,6467639377	1			
12	Hauteur de la calotte sphérique BB' (G'S = BS)	GG'	G G ' = BS - GS	0,0852868699	1			
L3	Aire de la calotte sphérique BB'	Scsbb'	$S_{CSBB}$ = 2 $\pi$ (OS) (G G ')	3,0716524532	1			
4	Contraction de la calotte sphérique BB'	$\Omega_{BB'}$	$\Omega_{BB} \cdot = \frac{S_{CSBB} \cdot }{S_{DE}}$	0,9777373428	1			
15	Masse du boson de X suivant l'angle de mélange	<b>M</b> <sub>BX</sub> (π/6)	$M_{BX\;(.n'6)} = \frac{M_{BXE}}{\Omega_{BB}},$	1,25752190E+11	eV/c²			
.6	Correction de la masse en introduisant l'effet de pointe	Мвхм	$M_{BXN} = M_{BX(\pi/6)} \frac{C_{S0}}{C_{SN}}$	1,25458149E+11	eV/c²			
L7	Masse du boson de Higgs (CMS 2020 : 125,38 ± 0,14 GeV/c²)	Мвн	expérimentale	1,25380000E+11	eV/c²			
.8	Différence Мвн – Мвхм (valeur absolue)	Δ	$\Delta =  M_{BH} - M_{BXN} $	7,81488147E+07	eV/c²			

% Δ

0,0623295699

Tab. 4.2: Masses du boson de X (anale de mélanae 30°)

Principes du calcul (voir détails en annexe 2 page 354):

Ligne 1 : Coefficient TNR

19

Lignes 2 et 3 : Caractéristiques du boson de X euclidien

Lignes 4 à 6 : Choix de l'angle de mélange

Pourcentage différence

Lignes 7 à 13 : Calcul de l'aire de la calotte sphérique (angle 30°)

Lignes 14 à 16 : Calcul de la masse du boson de X (angle 30°)

**Lignes 17 à 19 :** Comparaison du résultat du calcul de la masse du boson de X en phase neutre dodécaédrique (angle **30°**) avec la avec la plus récente mesure de la masse du boson de Higgs réalisée au CERN par la collaboration CMS (2020)

**Résultat 2 :** Ce nouveau résultat ne diffère que de **0,62** ‰ de la plus récente masse établie au CERN par la collaboration CMS. Il est donc quasiment identique à celui obtenu par la méthode précédente totalement indépendante (*Tab. 4.1 :* **0,72** ‰). L'étude à venir des bosons intermédiaires W<sup>±</sup> et Z° nous permettra de faire le lien avec l'angle de mélange électrofaible valant **28,17°**, dit *angle de Weinberg*, résultat très proche de cette valeur de **30°**.

En faisant maintenant varier l'angle de mélange de **0**° à **120**°, on obtient la série de résultats suivants :

*Tab. 4.3 : Masses comparées du boson de X suivant l'angle de mélange* 

	Masses du boson de X et des mésons	en foi	nction de l'angle de r	nélange radia	d				
n°	Donnée	Symb.	Formule	Valeur	U (SI)				
0	Masse du boson de Higgs (CMS 2020 : 125,38 ± 0,14 GeV/c²)	Мвн	expérimentale	1,25380000E+11	eV/c²				
	Angle de mé	lange	radial 0°						
1	Aire du disque euclidien AA' (OA = 1)	DEAA.	$DE_{AA} = \pi (OA)^2$	3,1415926536	1				
2	Masse du boson de X euclidien (phase hexagonale)	Мвхв	Voir Tab. 4.1 : masses et longueurs d'onde du boson de X (ligne 9)	1,22952612E+11	eV/c²				
3	Pourcentage différence	% ∆	% $\Delta = (M_{BXE} - M_{BH})/M_{BH}$	-1,93602457	%				
	Angle de mélange radial 15°								
4	Dénominateur de l'angle de mélange radial	d	d = N	12	1				
5	Angle de mélange radial en radians	α	$\alpha = \frac{\pi}{d}$	0,2617993878	radian				
6	Angle de mélange radial en degrés	α°	$\alpha$ ° = 180 $\frac{\alpha}{\pi}$	15	degré				
7	Masse du boson de X dodécaédrique (moyenne TNR)	MBXD 15°	Résultat du tableau 4.2 modifié (15°)	1,23365249E+011	eV/c²				
8	Pourcentage différence	% ∆	$M = (M_{BXD 15} - M_{BH})/M_{BH}$	-1,60691578	%				
Angle de mélange radial 30°									
9	Dénominateur de l'angle de mélange radial	d	d = N	6	1				
10	Angle de mélange radial en radians	α	$\alpha = \frac{\pi}{d}$	0,5235987756	radian				
11	Angle de mélange radial en degrés	α°	$\alpha$ ° = 180 $\frac{\alpha}{\pi}$	30	degré				
12	Masse du boson de X dodécaédrique (moyenne TNR)	MBXD 30°	Résultat du tableau 4.2 (30°)	1,25458149E+011	eV/c²				
13	Pourcentage différence	% ∆	$\% \Delta = (M_{BXD 30} - M_{BH})/M_{BH}$	0,06232957	%				
	Angle de mé	lange r	adial 45°						
14	Dénominateur de l'angle de mélange radial	d	d = N	4	1				
15	Angle de mélange radial en radians	α	$\alpha = \frac{\pi}{d}$	0,7853981634	radian				
16	Angle de mélange radial en degrés	α°	α°=180 α/π	45	degré				
17	Masse du boson de X dodécaédrique (maximum TNR)	MBXD 45°	Résultat du tableau 4.2 modifié (15°)	1,29512404E+11	eV/c²				
18	Pourcentage différence	% △	% $\Delta = (M_{BXD.4S^+} - M_{BH})/M_{BH}$	3,29590380	%				
Angle de mélange radial 60°									
19	Dénominateur de l'angle de mélange radial	d	d = N	3	1				
20	Angle de mélange radial en radians	α	$\alpha = \frac{\pi}{d}$	1,0471975512	radian				
21	Angle de mélange radial en degrés	α°	α ° = 180 $\frac{\alpha}{\pi}$	60	degré				
22	Masse des mésons (minimum TNR)	<b>М</b> м 60°	Résultat du tableau 4.2 modifié (60°)	1,34227730E+11	eV/c²				
23	Pourcentage différence	% ∆	$M_{BKD 60} = (M_{BKD 60} - M_{BH})/M_{BH}$	7,05673118	%				
0.4	Angle de mé								
24 25	Dénominateur de l'angle de mélange radial Angle de mélange radial en radians	d α	$d = N$ $\alpha = \frac{\pi}{d}$	2 1,5707963268	1 radian				
26	Angle de mélange radial en radians  Angle de mélange radial en degrés	α°	α°=180 <u>α</u>	90	degré				
27	Masse des mésons (moyenne TNR)	Мм 90°	Résultat du tableau 4.2 modifié (90°)	1,45919180E+11	eV/c²				
28	Pourcentage différence	% Δ	% Δ = (M <sub>BXD 90 °</sub> - M <sub>BH</sub> )/M <sub>BH</sub>	16,38154392	%				
20	Angle de mél			10,30134332	70				
29	Dénominateur de l'angle de mélange radial	d d	d = N	1,5	1				
30	Angle de mélange radial en radians	α	$\alpha = \frac{\pi}{d}$	2,0943951024	radian				
31	Angle de mélange radial en degrés	α°	$\alpha$ ° = 180 $\frac{\alpha}{\pi}$	120	degré				
32	Masse des mésons (maximum TNR)	Мм 120°	Résultat du tableau 4.2 modifié (120°)	1,53313619E+11	eV/c²				
33	Pourcentage différence	% Δ	% Δ = (M <sub>BXD 120*</sub> - M <sub>BH</sub> )/M <sub>BH</sub>	22,27916689	%				
			BAD 120 BH7 BH	, 520000	, ,				

La variation de l'angle de mélange du boson de X nous donne ainsi une gamme de masses allant de **122,95** à **153,31 GeV/c²**, ce qui reste dans le cadre de la physique expérimentale actuelle bornée par la masse du quark top évaluée à **173,34 GeV/c²**.

### Comparaison avec les résultats expérimentaux du CERN

Le graphique suivant publié au CERN par la collaboration CMS montre les probabilités d'apparition des différents modes de désintégration du boson Higgs. Les valeurs calculées de l'énergie du boson de X de la théorie NR ont été reportées en vert en bas du graphique et correspondent à la valeur euclidienne à gauche, à la valeur neutre au centre et à l'angle de mélange de 45° à droite. La courbe noire représente les valeurs expérimentales combinées, soit la moyenne statistique des résultats.

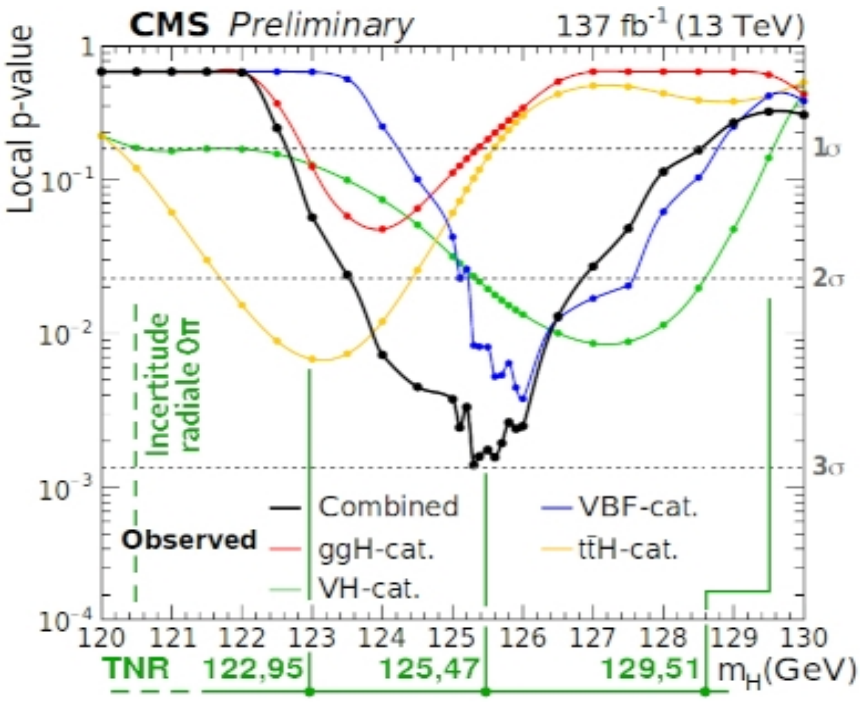


Fig. 4.3 : Énergies comparées du boson de Higgs et du boson de X

Les données expérimentales de la collaboration CMS du CERN sont donc bien encadrées par les valeurs correspondant aux angles de mélange allant de **0°** à **45°**, sachant que des incertitudes statistiques (radiales) sur l'angle de **0°** pourraient parfaitement justifier d'étendre l'encadrement des valeurs légèrement sur la gauche du graphique. La valeur de la masse du boson de X en phase neutre dodécaédrique de **125,47 GeV/c²** est elle parfaitement centrée par rapport à la courbe noire donnant les valeurs combinées.

#### Conclusions sur les caractéristiques du boson de X

Nous sommes maintenant en mesure de constater le rapport existant entre le très médiatique boson de Higgs et le boson de X :

## Comparaison

## **Boson de Higgs**

## Boson de X

#### Nature

magnétique.

Le boson de Higgs est censé être Le boson de X n'est pas strictement élémentaire, et réparti uniformément élémentaire puisqu'il procède d'une dans tout l'espace, selon le concept de harmonisation hexagonale de six ondes champ de Higgs dont il serait le de densité de l'espace (fluctuations quantum d'excitation du champ. Ce minimales). Il n'y a pas de supernouveau champ vient se surajouter aux position de champs en théorie NR, champs gravitationnel et électro- puisqu'elle ne se base que sur le seul concept d'espace.

#### **Fonction**

la théorie de la relativité générale.

Le boson de Higgs a été imaginé pour Le boson de X est la maille élémentaire résoudre le problème de la masse des de l'espace fractal dodécaédrique particules<sup>1</sup>, en particulier celles des autopoïétique en expansion converbosons intermédiaires W<sup>+</sup>, W<sup>-</sup> et Z<sup>0</sup>. *gente* caractéristique de la théorie NR. Le champ de Higgs est censé donner Il se comporte comme un oscillateur une masse aux particules élémentaires harmonique, qui en raison de la en raison de sa viscosité (fameuse courbure positive de l'espace procède métaphore du champ de neige), ce qui précisément à l'harmonisation de est une manière de restituer le l'espace fractal par « effet piscine », « freinage de l'éther », disqualifié par suivant le principe de recohérence auantiaue.

#### **Détection**

L'existence du boson de Higgs a été Le boson de X n'est pas un concept sigmas (5  $\sigma$ ), soit 99,99994 %.

postulée en 1964 mais ce n'est qu'en statistique mais un objet géométrique 2012 que sa détection expérimentale a dont les caractéristiques sont directeété annoncée au CERN sur la base des ment calculées à partir des constantes données statistiques combinées des fondamentales de la physique que sont deux expériences ATLAS et CMS, avec h G et c, les deux premières de ces un degré de confiance supérieur à cinq constantes étant transcrites sous les formes  $\mu_{\infty}c$  et  $\mu_{0}\alpha^{2}$ .

En pratique, le boson de Higgs n'explique que les masses des bosons W<sup>+</sup>, W<sup>-</sup> et Z°, soit seulement environ 1% de la masse des fermions, ce qui laisse nombre de physiciens sceptiques quant à ses performances prédictives.

## **Propriétés**

La *masse* du boson de Higgs a été La *masse* du boson de X est directement établie expérimentalement en appli- reliée à la longueur de Planck par quant des méthodes statistiques et ne application de l'équation de Planck peut pas être directement calculée sur Einstein. Il possède sa propre masse, la base du *modèle standard* de la qu'il ne transmet pas par interaction physique des particules.

L'*unicité* du boson de Higgs est sujette à discussions, certaines théories physiques spéculatives comme par exemple la *supersymétrie* envisageant multiplicité de bosons aux fonctions similaires.

Le boson de Higgs est défini comme un boson scalaire de spin 0, en raison de son mode de désintégration en deux photons gamma. Il doit avoir un spin nul pour respecter certains principes de symétrie du Modèle standard des particules. La *parité* du boson de Higgs opération d'inversion une degré de confiance supérieur à 95 %.

Le boson de Higgs est considéré particules de matière. concept de « boson hermaphrodite »).

mais simplement par sa participation à l'architecture des particules, le concept de masse étant directement relié à la quantité et à la densité de l'espace emprisonné dans une particule de matière, suite à l'opération topologique d'enveloppement.

Le boson de X n'a pas d'*unicité* car il se présente sous deux formes : en phase euclidienne hexagonale quand il est libre dans l'espace et en phase dodécaédriaue neutre auand participe à l'architecture interne d'une particule de matière.

— c'est-à-dire son comportement sous Le **spin** et la **parité** du boson de X des procèdent directement des caractériscoordonnées de l'espace — a été établie tiques de la fluctuation minimale : comme étant positive (ou paire) 0+ - phase, translation et rotation. Il soit spin 0 et f(-x) = f(x) — avec un possède un aspect scalaire dans l'espace, mais vectoriel au sein des

comme sujet au phénomène d'auto- Le boson de X est sujet à l'autocouplage (self-induction), capacité à couplage en raison du balayage interagir avec soi-même (d'où le alternatif de l'espace dans la zone d'influence d'une particule.

#### Médiatisation

Lederman, lauréat du prix Nobel en fondamental, journalistes scientifiques. demandée par l'éditeur du livre de « détente Lederman The Goddamn Particle, ce universel » damnée » ou « la satanée particule ».

Le physicien américain Léon Max En théorie NR, le boson de X n'est pas puisqu'il 1988, est l'auteur du surnom de l'harmonisation de six fluctuations « particule de Dieu » donné au boson minimales. C'est donc à cette étrange de Higgs, ce qui a fait les choux gras fluctuation minimale originelle qu'il Ce conviendrait de donner un surnom surnom provient d'une modification métaphysique, comme par exemple initiale de l'espace (d.i.e.u. lettres en qui peut se traduire par « la particule minuscules pour rester dans un cadre séculier).